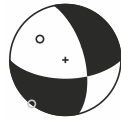
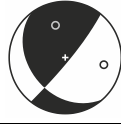
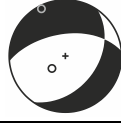
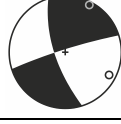
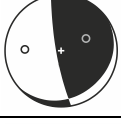



VI. Механизмы очагов отдельных землетрясений России

*Н.А. Гилева, Ж.В. Гладырь, И.В. Голубева,
Е.И. Иванова, Л.С. Малянова, В.И. Мельникова,
Д.А. Сафонов*

В данном разделе представлены параметры механизмов очагов и их диаграммы в нижней полусфере для 48 наиболее сильных землетрясений, произошедших в регионах «Камчатка», «Курило-Охотский регион», «Прибайкалье и Забайкалье» и «ВЕС, Урал и Западная Сибирь». Все эти механизмы построены по знакам первых движений в *P*-волне с использованием данных региональных и телесейсмических станций. При расчете механизмов очагов использовалась методика [Введенская, 1956, 1969; Балакина, Введенская и др., 1972; Антекман, Желанкина, 1979; Ландер, 2004; Антекман, Захарова, 1988].

По сети KRSC представлены предварительные результаты расчетов.

№	Дата, дд.мм <i>t₀</i> , чч:мм:сс Код сети	<i>M</i>	Координаты гипоцентра			Оси главных напряжений						Нодальные плоскости						<i>Q</i> ¹	Диаграмма
			φ, °N	λ, °E	<i>h</i> , км	<i>T</i>		<i>N</i>		<i>P</i>		<i>NP1</i>			<i>NP2</i>				
						<i>PL</i>	<i>AZM</i>	<i>PL</i>	<i>AZM</i>	<i>PL</i>	<i>AZM</i>	<i>STK</i>	<i>DP</i>	<i>SLIP</i>	<i>STK</i>	<i>DP</i>	<i>SLIP</i>		
1	07.01. 15:58:33 BYKL	3.7	56.68	117.98	9	0	217	49	127	41	307	344	62	-32	90	62	-148	b	
2	06.02. 04:44:58 SKHL	5.8	46.53	153.19	59	40	341	35	216	30	101	138	36	10	40	84	125	-	
3	11.02. 11:30:37 BYKL	3.9	53.36	108.48	7	8	333	25	67	64	226	264	58	-60	37	43	-128	b	
4	16.02. 22:44:01 KRSC	4.7	54.18	168.84	10	7	26	74	270	14	118	253	85	-165	161	75	-5	E	
5	18.02. 01:13:16 OBN	6.8	42.60	130.65	567	49	63	15	171	37	272	169	84	75	56	16	156	-	
6	23.02. 10:43:10 KRSC	5.4	49.69	156.21	80	28	62	36	309	41	180	303	83	-127	204	37	-12	D	

¹ *Q* – точность определения параметров механизма очага:

– для кода сети BYKL: а – $\delta PL \leq (\pm 10^\circ)$, b – $(\pm 10^\circ) < \delta PL \leq (\pm 15^\circ)$. В случае отсутствия данных о глубинах гипоцентра для расчета углов выхода использовалась фиксированная глубина 15 км;

– для кода сети KRSC – принадлежность механизма классу А означает, что он входит в число 10% лучших камчатских решений, В – в 25%, С – в 50%, D – в 75%, E – все остальные.

№	Дата, дд.мм t_0 , чч.мм.сс Код сети	M	Координаты гипоцентра			Оси главных напряжений						Нодальные плоскости						Q ¹	Диаграмма
			φ, °N	λ, °E	h, км	T		N		P		NP1			NP2				
						PL	AZM	PL	AZM	PL	AZM	STK	DP	SLIP	STK	DP	SLIP		
7	25.02. 04:27:17 BYKL	4.3	52.19	105.84		17	312	17	47	66	180	19	32	-123	236	64	-71	b	
8	06.03. 13:31:12 SKHL	5.1	44.15	147.78	64	20	137	5	45	69	302	236	26	-78	43	65	-96	-	
9	13.03. 21:42:37 KRSC	5.0	52.69	160.60	55	44	266	10	6	44	107	6	90	80	276	10	180	C	
10	16.03. 09:44:13 OBN	5.5	52.12	142.28	10	41	16	47	214	9	114	58	69	142	164	55	26	-	
11	19.03. 09:30:41 BYKL	5.3	54.50	110.08		1	126	5	36	85	226	32	46	-96	221	44	-84	a	
12	23.03. 15:23:39 KRSC	5.7	52.74	171.33	29	41	90	49	270	0	0	233	62	32	127	62	148	E	
13	29.03. 21:02:18 PERM	3.9	58.86	59.16	21	38	303	46	89	18	198	75	77	42	334	49	163	-	
14	02.05. 06:23:16 KRSC	5.3	57.39	162.39	8	18	24	64	252	18	120	252	90	-154	162	64	0	E	
15	21.05. 22:34:13 BYKL	4.5	53.30	108.50		21	130	7	37	68	291	35	66	-97	232	25	-75	a	
16	05.06. 05:22:04 SKHL	5.2	43.36	146.91	77	68	328	8	218	21	125	200	25	71	41	66	99	-	
17	18.06. 02:23:05 SKHL OBN	6.2	44.22	149.05	53	55	283	5	20	35	114	19	80	85	226	11	117	-	
						74	250	10	19	12	111	12	58	78	215	34	109	-	

№	Дата, дд.мм t_0 , чч.мм.сс Код сети	M	Координаты гипоцентра			Оси главных напряжений						Нодальные плоскости						Q^1	Диаграмма
			φ , °N	λ , °E	h , км	T		N		P		NP1			NP2				
						PL	AZM	PL	AZM	PL	AZM	STK	DP	SLIP	STK	DP	SLIP		
18	29.06. 11:48:18 SKHL KRSC	5.1	47.96	154.88	67	2	204	63	110	27	295	336	70	-19	72	73	-159	-	
						65	208	23	50	8	317	246	57	118	22	42	54	A	
19	15.07. 20:28:04 KRSC	4.7	52.22	161.04	45	36	56	9	319	53	218	318	81	-99	183	12	-46	E	
20	25.07. 12:56:58 KRSC	5.4	49.38	155.34	161	5	341	53	243	36	75	213	69	-149	111	61	-24	A	
21	26.07. 07:18:43 BYKL	3.8	52.57	106.49	18	23	357	28	254	52	121	245	74	-119	129	33	-30	b	
22	30.07. 01:48:41 KRSC	4.7	52.30	160.45	44	53	70	10	174	35	271	172	81	80	42	14	140	E	
23	30.07. 03:56:11 KRSC OBN	6.3	52.22	160.45	38	43	219	40	360	20	108	348	76	49	243	43	160	D	
						64	312	1	44	26	135	44	71	89	228	19	94		
24	30.07. 04:28:00 KRSC	5.3	52.21	160.46	40	42	26	21	277	42	168	97	90	111	187	21	0	B	
25	05.08. 19:03:59 KRSC	5.5	49.18	156.09	81	37	44	48	259	18	148	92	78	139	192	50	16	C	
26	15.08. 02:10:36 KRSC	5.5	53.25	160.74	56	78	177	9	311	9	42	304	55	79	142	37	105	C	
27	21.08. 00:54:16 KRSC	5.3	53.60	162.94	83	23	22	30	278	51	144	269	75	-121	155	35	-28	C	
28	03.09. 04:13:16 KRSC	5.1	52.97	154.98	516	7	94	39	190	50	355	34	63	-45	149	51	-144	D	

№	Дата, дд.мм t_0 , чч:мм:сс Код сети	M	Координаты гипоцентра			Оси главных напряжений						Нодальные плоскости						Q^1	Диаграмма
			φ , °N	λ , °E	h , км	T		N		P		NP1			NP2				
						PL	AZM	PL	AZM	PL	AZM	STK	DP	SLIP	STK	DP	SLIP		
29	08.09. 17:39:41 SKHL	5.4	44.36	150.16	37	40	311	10	51	44	151	51	90	80	321	10	-180	-	
30	20.09. 02:12:21 KRSC	4.7	56.12	162.77	27	42	69	41	211	20	320	199	77	47	95	44	161	D	
31	23.09. 17:13:02 KRSC	4.9	54.38	163.33	81	18	300	6	32	71	141	215	63	-83	20	28	-104	C	
32	27.09. 13:00:03 BYKL	4.8	53.32	108.47		55	155	1	246	35	337	246	80	89	72	10	96	a	
33	12.11. 06:31:10 KRSC	5.2	54.48	161.65	71	73	67	15	216	9	308	205	55	72	55	39	115	B	
34	16.11. 10:10:44 KRSC	5.8	51.46	159.65	61	35	284	10	186	53	82	185	81	-101	55	14	-41	C	
35	21.11. 11:32:04 SKHL KRSC	5.1	51.02	151.18	514														
36	21.11. 14:37:34 BYKL	4.2	53.30	108.49		9	309	9	41	78	174	227	55	-79	29	37	-105	D	
37	23.11. 01:31:48 BYKL	4.2	53.30	108.48		7	324	14	56	74	209	38	40	-113	247	54	-72	a	
38	27.11. 19:29:36 KRSC	4.9	55.15	160.36	8	0	131	25	41	65	221	18	50	-123	243	50	-57	a	
39	30.11. 17:54:48 SKHL KRSC	5.3	48.73	155.49	68	81	219	9	39	0	309	31	46	77	228	46	103	-	
						25	168	53	297	25	65	117	90	-37	207	53	-180	E	

